

# Recherche d'un noyau dans un graphe aléatoire

Marco Illengo et Jean-Marie Le Bars

LMNO et GREYC, université de Caen

Journées Alea 2012

# Plan de l'exposé

- 1 Introduction
- 2 Algorithmes
- 3 Graphes denses
- 4 Graphes éparses

# Plan de l'exposé

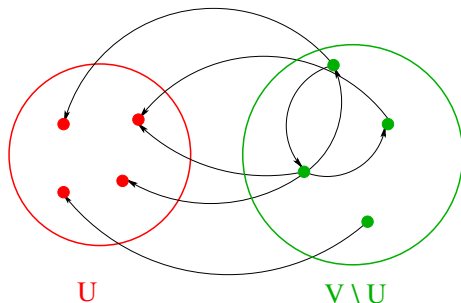
- 1 Introduction
- 2 Algorithmes
- 3 Graphes denses
- 4 Graphes éparses

# Définition de la propriété de noyau

Grphe orienté  $D_n = \langle V_n, A \rangle$ ,  $V_n = \{1, \dots, n\}$ ,  $A$  ensemble d'arcs

Un noyau est un sous-ensemble  $U$  de  $V_n$  vérifiant les deux propriétés suivantes :

- $U$  est un **stable** : pas d'arc entre deux sommets de  $U$ .
- $K$  est **dominant** : pour tout sommet en dehors de  $U$ , il existe un arc vers un sommet du  $U$ .



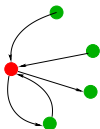
# Définition de la propriété de noyau

**ROUGE** sommets du noyau

**VERT** sommets à l'extérieur du noyau

## Contraintes locales

- tous les voisins d'un sommet rouge sont verts



- un sommet vert à au moins un sommet sortant rouge (témoin)



**Recherche d'un noyau** : coloriage des sommets en **rouge** et **vert**

# Jeux combinatoires et graphes

## Jeux à deux joueurs

Jeux finis à deux joueurs sans information cachée avec toujours un vainqueur.

Un des deux joueurs possède une stratégie gagnante

## Graphe orienté

Sommets : configurations du jeu

Arcs : déplacements

**Noyau** = Ensemble des positions gagnantes

Celui qui possède une stratégie gagnante se déplace toujours vers un sommet du noyau.

# Recherche d'un noyau dans un graphe

## Problème de décision NOYAU

$D_n$  vérifie NOYAU lorsqu'il possède au moins un noyau.

NOYAU est un problème NP-complet.

## Notre objectif

Générer aléatoirement des instances difficiles.

## Application en cryptographie

Cacher un noyau dans un graphe aléatoire.

(en collaboration avec Eleonora Guerini et Fabien Laguillaumie)

# Utilisation des séries génératrices

On peut utiliser les séries génératrices lorsque le graphe est un arbre ou proche d'un arbre

## Sur les arbres

- arbres planaires généraux
- arbres binaires
- arbres enracinés étiquetés

(voir l'article de Cyril Banderier, Markus Kuba, Alois Panholze, 2009)

## Graphe avec un seul circuit

(Cyril Banderier, LB, Vlady Ravelomanana, 2004)



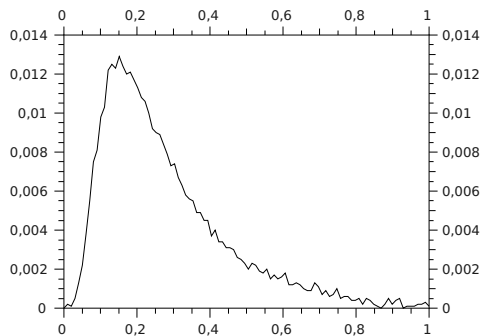
# Graphes aléatoires

## Modèle $\mathcal{D}(n, p)$

chaque paire de sommets est un arc avec probabilité  $p$ .

## Complexité moyenne de l'algorithme $\mathcal{A}$

100 sommets et 100 itérations



# Plan de l'exposé

- 1 Introduction
- 2 Algorithmes
- 3 Graphes denses
- 4 Graphes éparses

# Algorithme naïf $\mathcal{B}$

## Taille des noyaux

On suppose que l'on connaît les tailles possibles : ensemble  $\mathcal{I}$ .

## Recherche exhaustive

On effectue la recherche exhaustive sur tous les sous-ensembles de  $V_n$  de taille  $r \in \mathcal{I}$ .

## Borne supérieure de la complexité

$$\sum_{r \in \mathcal{I}} \binom{n}{r} n \ln n.$$

# Algorithme $\mathcal{A}$ – Étape 1

Algorithme pour trouver l'unique noyau d'un graphe sans circuit

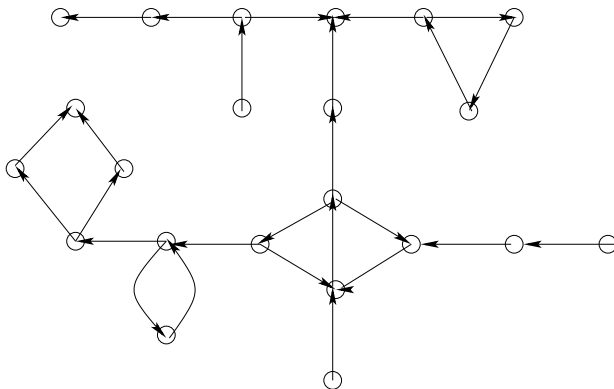
Coloriage à trois couleurs

- BLANC : sommets non traités
- ROUGE sommets dans le noyau
- VERT sommets à l'extérieur du noyau

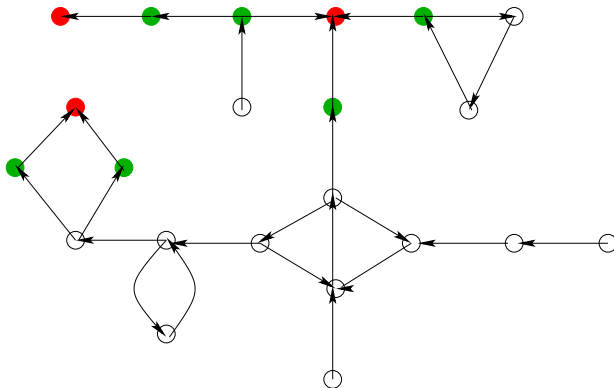
Algorithme  $\mathcal{A}_1$

Tant que BLANC est non vide et qu'il reste un puits  
colorier les puits en rouge  
colorier les voisins des puits en vert  
supprimer du graphe les sommets coloriés

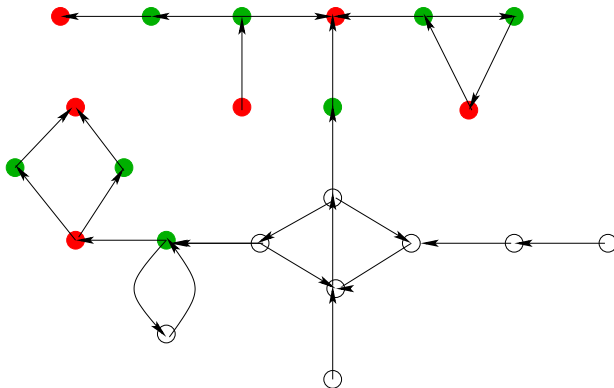
# Algorithme $\mathcal{A}$ – Étape 1



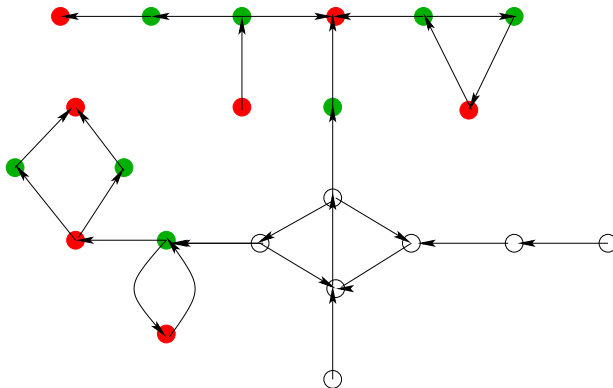
# Algorithme $\mathcal{A}$ – Étape 1



# Algorithme $\mathcal{A}$ – Étape 1



# Algorithme $\mathcal{A}$ – Étape 1





# Algorithme $\mathcal{A}$ – Étape 2

## Backtracking simple, coloriage à quatre couleurs

- BLANC sommets non traités
- ROUGE sommets dans le noyau
- BLEU sommets à l'extérieur du noyau sans témoin
- VERT sommets à l'extérieur du noyau avec témoin

## Algorithme $\mathcal{A}_2$

Tant que BLANC est non vide

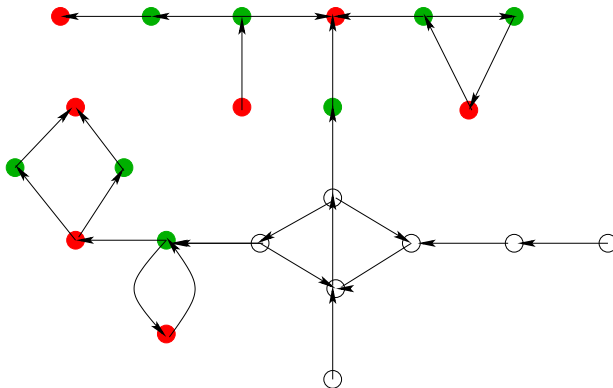
  prendre  $a \in \text{BLANC}$

  énumérer les noyaux contenant  $a$

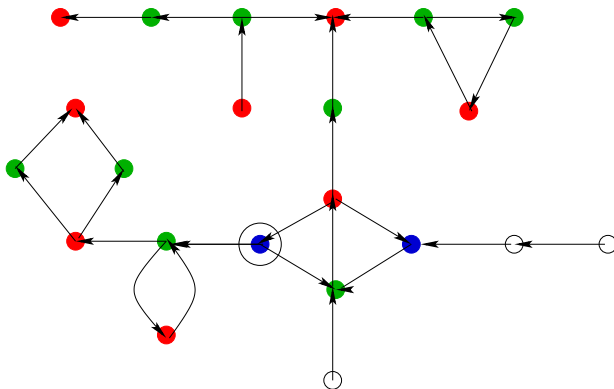
  énumérer les noyaux ne contenant pas  $a$

Nous obtenons un noyau lorsque tous les sommets sont coloriés en rouge et vert.

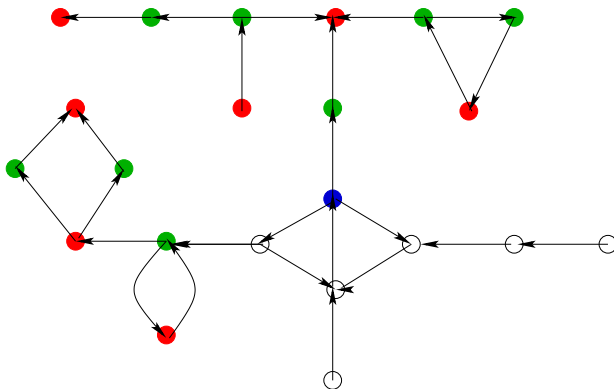
# Algorithme $\mathcal{A}$ – Étape 2



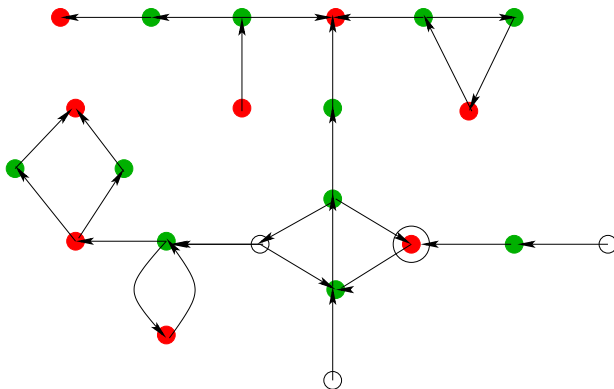
# Algorithme $\mathcal{A}$ – Étape 2



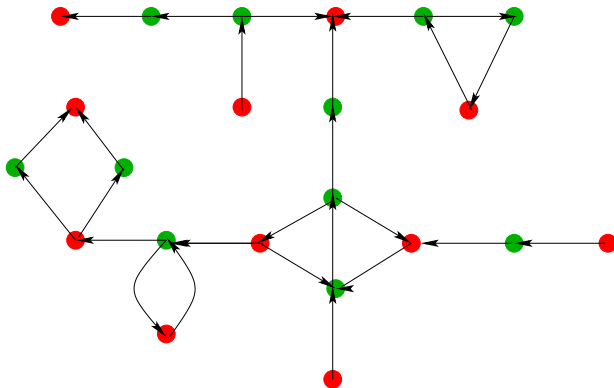
# Algorithme $\mathcal{A}$ – Étape 2



# Algorithme $\mathcal{A}$ – Étape 2



# Algorithme $\mathcal{A}$ – Étape 2



# Plan de l'exposé

- 1 Introduction
- 2 Algorithmes
- 3 Graphes denses
- 4 Graphes éparses

# Calculs préliminaires

$$q = 1 - p$$

## Probabilités élémentaires

$S(q, r)$  (resp.  $D(q, n, r)$  et  $N(q, n, r)$ ) probabilité que  $U$  de taille  $r$  soit stable (resp. dominant, un noyau).

$$\begin{aligned} S(q, r) &= q^{r(r-1)} \\ D(q, n, r) &= (1 - q^r)^{n-r} \\ N(q, n, r) &= S(q, n, r) D(q, n, r). \end{aligned}$$

## Espérance

Le nombre moyen de noyaux de taille  $r$  vaut donc

$$E[X_r^{\text{Noyau}}] = \binom{n}{r} q^{r(r-1)} (1 - q^r)^{n-r}.$$



# Cas dense, $p$ constant

**Théorème** Tomescu, Fernandez de la Vega, 1990

Notons  $q = 1 - p$ . Il existe un intervalle  $\mathcal{I}(p, n)$  autour de  $\beta(n) = \log_{1/q} n - \log_{1/q}(\log_{1/q} n)$  tel que les noyaux de  $D_n \in \mathcal{D}(n, p)$  satisfont

- 1 a. p. s. tous les noyaux ont une taille dans  $r \in \mathcal{I}(p, n)$  ;
- 2 pour toute suite  $r(n) \in \mathcal{I}(p, n)$ ,  $D_n$  possède a. p. s. un noyau de taille  $r(n)$ .

## Remarques

- la taille de  $\mathcal{I}(n, p)$  ne dépend que de  $p$
- l'intervalle diminue lorsque  $p$  augmente

# Cas dense, $p$ constant

## Idée de la preuve

On utilise les **Méthodes du premier et du second moment**

Pour  $r$  proche de  $\beta$ , soit  $c$  le réel tel que  $n = e^c r q^{-r}$ .

$$E[X_r^{\text{Noyau}}] \sim \frac{e^{rg(c)}}{\sqrt{2\pi r}} \quad \text{var}(X_r^{\text{Noyau}}) \sim E[X_r^{\text{Noyau}}]$$

où  $g(c) = -e^c + c + 1 - \ln q$ .

$r \in \mathcal{I}(n, p)$  si et seulement si  $g(c) > 0$ .

# Complexité des algorithmes

## Algorithme $\mathcal{B}$

$\mathcal{B}$  est un algorithme de Monte Carlo d'erreur  $\lambda < 1/E[X_r^{\text{Noyau}}]$ .  
Sa complexité est superpolynomial ( $n^{n^n}$ ).

## Algorithme $\mathcal{A}$

On *prouve* que l'algorithme  $\mathcal{A}$  est également superpolynomial en remplaçant l'espérance de la complexité par la complexité de l'espérance.

Pour une preuve rigoureuse, il faut utiliser le modèle  $\mathcal{D}(n, M)$ .

# Plan de l'exposé

- 1 Introduction
- 2 Algorithmes
- 3 Graphes denses
- 4 Graphes éparses

# Cas éparses, $p = c/n$

## Calcul de l'espérance

### Rappel

$$E[X_r^{\text{Noyau}}] = \binom{n}{r} S(r, q) D(n, r, q)$$

Pour  $p = c/n$  et  $r = \mu n$ ,  $\mu$  densité de  $r$

$$\begin{aligned} \binom{n}{\mu n} / n &\sim \beta(c, \mu) = -\mu \log \mu - (1 - \mu) \log(1 - \mu), \\ S(\mu n, 1 - c/n) / n &\sim \iota(c, \mu) = -c\mu^2, \\ D(n, \mu n, 1 - c/n) / n &\sim \delta(c, \mu) = (1 - \mu)(1 - e^{-c\mu}), \end{aligned}$$

# Une seule densité possible

## Théorème 1

Tous les noyaux de  $D_n$  sont a. p. s. tous de taille

$$r = \mu_c n + o(n),$$

où  $c = -\frac{\log \mu_c}{\mu_c}$ .

## Idée de la preuve

On montre que  $E[X_r^{\text{Noyau}}] = e^{\varphi(c, \mu)n + o(n)}$ , où

$$\varphi(c, \mu) = -\mu \log \mu - (1 - \mu) \log(1 - \mu) - c\mu^2 + (1 - \mu) \log(1 - e^{-c\mu}).$$

$$\begin{cases} \varphi(c, \mu) < 0 & \text{pour } \mu \neq \mu_c \\ \varphi(c, \mu) = 0 & \text{sinon} \end{cases}$$

# Aucune taille probable

## Théorème 2

Pour toute suite  $r(n)$ ,  $D_n$  n'a a. p. s. pas de noyau de taille  $r$ .

## Idée de la preuve

Soient  $\mu = \mu_c$  et  $r = \mu n + o(n)$

On utilise le résultat suivant

$$\ln E[X_r^{\text{Noyau}}] = -\frac{x^2}{n} \frac{(1 - \log \mu)^2}{2\mu(1 - \mu)} - \frac{1}{2} \log n - \log \left( \mu \sqrt{2\pi\mu(1 - \mu)} \right) + \varepsilon(n, x),$$

$$\text{où } \varepsilon(n, x) \in O\left(\frac{1}{n}\right) + O\left(\frac{x}{n}\right) + O\left(\frac{x^3}{n^2}\right).$$

# Somme des espérances

## Théorème 3

L'espérance du nombre de noyaux de densité  $\mu_c$  est supérieure à 1.

### Idee de la preuve

Soient  $\mu = \mu_c$ ,  $f = o(n^{\frac{2}{3}})$  et  $|x| \leq f$ .

On considère l'espérance du nombre de noyaux de taille  $r = \mu n + x$ .

$$E[X_r^K] = \frac{e^{-\eta \frac{x^2}{n}}}{\zeta \sqrt{n}} (1 + o(1)), \eta = \frac{(1 - \log \mu)^2}{2\mu(1 - \mu)}, \zeta = \mu \sqrt{2\pi\mu(1 - \mu)}.$$

On somme les espérances sur  $f \in \omega(\sqrt{n})$ ,

$$\lim_{n \rightarrow \infty} \sum_{|x| \leq f} E[X_r^K] = \frac{1}{\zeta} \int_{-\infty}^{\infty} e^{-\eta y^2} dy = \frac{\sqrt{\pi}}{\zeta \sqrt{\eta}} = \frac{\frac{1}{\mu}}{1 + \log \frac{1}{\mu}} > 1,$$



# Complexité des algorithmes

## Algorithme $\mathcal{B}$

$\mathcal{B}$  est un algorithme de Monte Carlo d'erreur  $\lambda = e^{-\epsilon n}$  sur les ensembles de densité  $\mu$ , avec  $|\mu - \mu_c| < \delta$ .

Sa complexité est exponentielle.

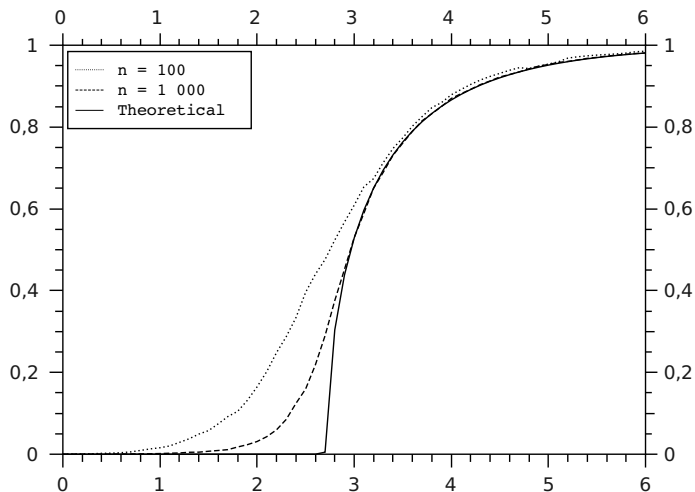
## Algorithme $\mathcal{A}$

On *prouve* que l'algorithme  $\mathcal{A}_2$  est exponentiel en la taille de BLANC, l'ensemble des sommets non coloriés par  $\mathcal{A}_1$ .

## Complexité de $\mathcal{A}$

Dépend de la taille de BLANC.

# Densité de BLANC après $\mathcal{A}_1$



# Transition de phase en $c = 1$

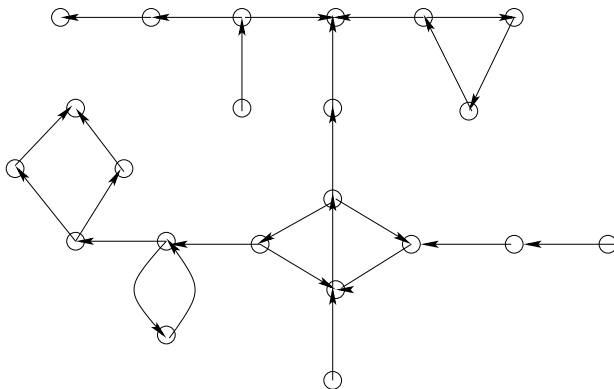
## Expérimentations

On observe expérimentalement que tous les sommets sont coloriés avec l'algorithme  $\mathcal{A}_1$ , pour  $c < 1$ .

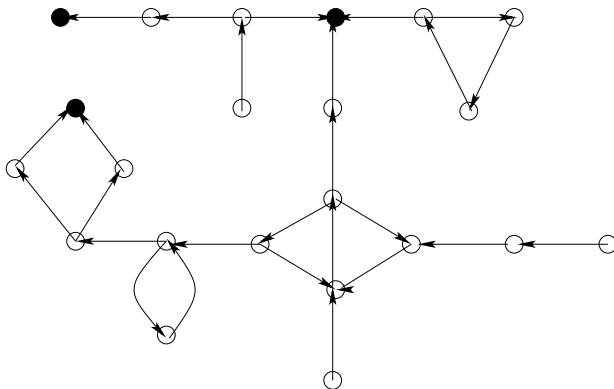
## Coloriage en blanc et noir

On propose un coloriage plus grossier que celui de l'algorithme  $\mathcal{A}_1$  :  
On colorie en noir tous les puits et tous les sommets allant vers un puits et n'appartenant pas à un circuit.

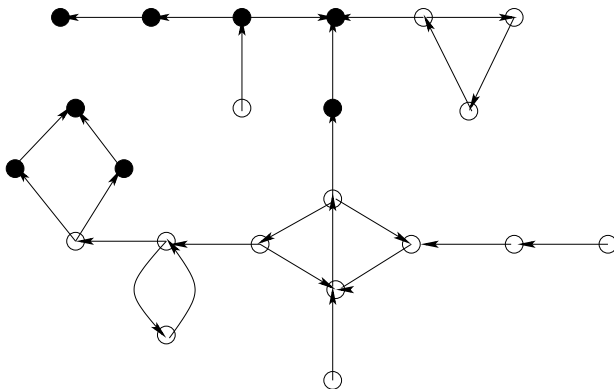
# Algorithme $\mathcal{A}$ – Étape 1



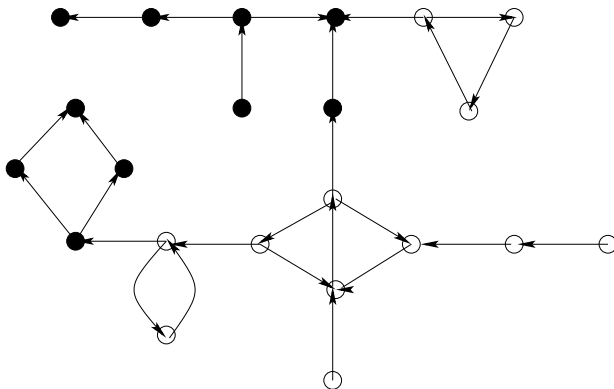
# Algorithme $\mathcal{A}$ – Étape 1



# Algorithme $\mathcal{A}$ – Étape 1



# Algorithme $\mathcal{A}$ – Étape 1



# Transition de phase en $c = 1$

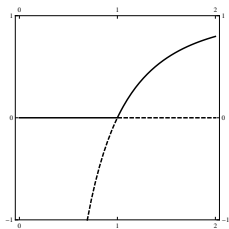
## Coloriage en blanc et noir

$w_i$  densité de BLANC à l'étape  $i$ ,  $|\text{BLANC}| \sim w_i n$ .

**Système dynamique**  $\begin{cases} w_0 = 1 \\ w_{i+1} = \varphi(w_i) \end{cases}$  où  $\varphi(z) = 1 - e^{-cz}$ .

## Transition de phase

Soit  $w = \lim_i \varphi^i(1)$ .

$$\begin{array}{ll} w = 0 & \text{si } c < 1. \\ w > 0 & \text{si } c > 1. \end{array}$$




# Transition de phase en $c = e$

## Itérations de l'algorithme $\mathcal{A}_1$

$w_i$  et  $r_i$  densité de BLANC et ROUGE à l'itération  $i$ .

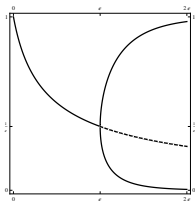
**Système dynamique**  $\begin{cases} r_{i+1} &= \psi(1 - g_i) \\ 1 - g_i &= \psi(r_i) \end{cases}$  où  $\psi(z) = e^{-cz}$

## Transition de phase

$$w = \lim_i (\psi^{2i+1}(0) - \psi^{2i}(0)).$$

$$w = 0 \quad \text{si} \quad c < e.$$

$$w > 0 \quad \text{si} \quad c > e.$$



# Perspectives

Approfondir l'étude du cas  $p = \frac{c}{n}$

- Etude de la variance.
- Mieux connaître la structure des noyaux pour garantir qu'il n'existe pas de (vraiment) meilleurs algorithmes.

Autres distributions  $p = \frac{c \log n}{n}$

De nombreuses propriétés naturelles apparaissent avec cette distribution.

Merci de votre attention